

*к.т.н. Полилов Е.В.  
(ДонГТУ, г. Алчевск, Украина)*

## **РОБАСТНОЕ УПРАВЛЕНИЕ ПАРАМЕТРИЧЕСКИ НЕОПРЕДЕЛЕННОЙ ЭЛЕКТРОМЕХАНИЧЕСКОЙ СИСТЕМОЙ**

*У статті наведено синтез робастної системи управління позиційного електропривода з  $H_\infty$ -субоптимальним регулятором положення, що функціонує в умовах неповної інформації про об'єкт і з урахуванням його структурних невизначеностей.*

***Ключові слова:** робастне керування, невизначеність,  $H_\infty$ -норма, субоптимальний регулятор.*

*В статье приведен синтез робастной системы управления позиционного электропривода с  $H_\infty$ -субоптимальным регулятором положения, функционирующей в условиях неполной информации об объекте и с учетом его структурных неопределенностей.*

***Ключевые слова:** робастное управление, неопределенность,  $H_\infty$ -норма, субоптимальный регулятор.*

**Введение.** Современный период развития теории управления характеризуется постановкой и решением задач, учитывающих неточность знаний об объектах управления (ОУ) и действующих на них внешних возмущений. Задачи синтеза регулятора и оценивания состояния с учетом неопределенности в модели объекта и характеристиках входных воздействий являются одними из центральных в современной теории управления. Их важность обусловлена прежде всего тем, что практически в любой инженерной задаче конструирования системы управления присутствует неопределенность (или ошибка) в модели объекта (математическая модель объекта, полученная на основе теории или в результате идентификации, отличается от реальной технической системы) и в знании класса входных возмущений.

Основная и принципиально новая идея по синтезу робастного управления состоит в том, чтобы единственным регулятором обеспечить устойчивость замкнутой системы не только для номинального (без учета ошибок модели) объекта, но и для любого объекта, принадлежащего множеству «возмущенных» объектов, определяемых классом неопределенности [1-3].

**Цель работы.** Разработка робастной системы управления электромеханического объекта – позиционного электропривода (ЭП) функционирующего в условиях неполной информации о объекте и с учетом его неопределенностей методами  $H_\infty$ -теории.

**Материал и результаты исследования.** В качестве объекта управления принят позиционный электропривод с приводным электродвигателем постоянного тока и управляемым транзисторным преобразователем для питания якорной цепи двигателя. При математическом описании объекта магнитный поток двигателя полагается постоянным, влияние реакции якоря и вихревых токов не учитывается (двигатель компенсирован). Эти допущения являются общепринятыми, позволяющими описать динамику системы линейными дифференциальными уравнениями 4-го порядка.

Структурная схема силовой части (ОУ) показана на рис. 1. Здесь двигатель постоянного тока представлен в виде последовательно включенных апериодического и интегрирующего звеньев, охваченных жесткой отрицательной обратной связью по противо-э.д.с машины. Звено перехода от окружной скорости электродвигателя к положению - интегратор с коэффициентом передачи  $k_{\text{мех}}$ .

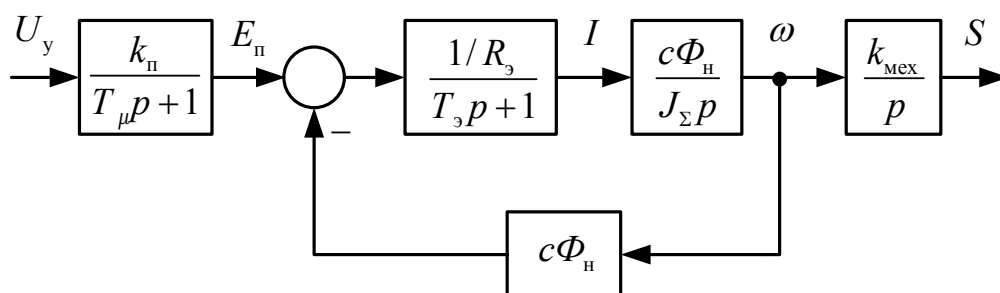


Рисунок 1 - Структурная схема ОУ позиционного электропривода

Из структурной схемы рис. 1 следует система уравнений, описывающая ОУ в форме Коши:

$$\begin{cases} pS = k_{\text{мех}} \omega; \\ p\omega = \frac{c\Phi_n}{J_\Sigma} I; \\ pI = -\frac{c\Phi_n}{R_3 T_3} \omega - \frac{1}{T_3} I + \frac{1}{R_3 T_3} E_n; \\ pE_n = -\frac{1}{T_\mu} E_n + \frac{k_n}{T_\mu} U_y, \end{cases} \quad (1)$$

где  $S$  - перемещение механизма, мм;  $\omega$  - угловая скорость двигателя, рад/с;  $\Phi$  - магнитный поток двигателя, Вб;  $I$  - ток якорной цепи, А;  $E_{\text{п}}$  - э.д.с. управляемого преобразователя, В;  $U_y$  - управляющее напряжение, В.

Считаем, что передаточный коэффициент  $k_{\text{пк}}$  преобразователя изменяются в диапазоне  $\pm 10\%$ , индуктивность и сопротивление якорной цепи изменяются в диапазоне  $\pm 20$  и  $\pm 30\%$  соответственно, а момент инерции, приведенный к валу двигателя – в диапазоне  $\pm 40\%$  от номинальных значений. Описание вышеуказанных неопределенностей, которые либо точно не известны, либо изменяются в процессе работы электропривода, представленных как линейное дробное преобразование (ЛДП), определение динамики входов/выходов системы в матричном представлении с учетом неопределенностей как  $\mathbf{G}(s)$  – матрица передаточных функции (МПФ), а также последовательность преобразования структурных схем ОУ с неопределенными параметрами, рассмотрены авторами в [4-5].

В  $H_{\infty}$ -теории Дж. Дойлом и др. было доказано, что стандартная задача  $H_{\infty}$ -управления (которая часто называется задачей минимизации энергии выхода) может быть решена с помощью двух алгебраических уравнений Риккати [3] и связана со следующей структурной схемой, изображенной на рис. 2.

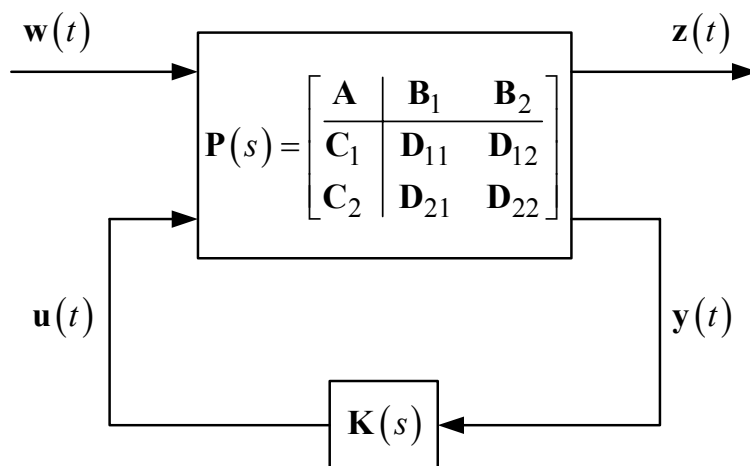


Рисунок 2 – Структурная схема синтезируемой системы (стандартная задача  $H_{\infty}$ -управления)

На этой схеме вектор  $w(t)$  представляет собой вектор внешних воздействий (возмущающих и задающих);  $y(t)$  – вектор измеряемого выхода, используемый для улучшения качества работы САУ (вектор, по которому замыкается через регулятор обратная связь);  $u(t)$  – вектор

управляющих воздействий) и  $\mathbf{z}(t)$  – вектор ошибки, используемый для контроля качества САУ (вектор, который необходимо сделать минимальным в определенном смысле). Матрица передаточных функций  $\mathbf{P}(s)$  представляет не только сам объект, которым надо управлять, но и весовые функции, которые включены для обеспечения желаемого качества. Такого рода объект  $\mathbf{P}(s)$  называется обобщенным (см. рис. 3). На рис. 3  $\mathbf{G}(s)$  – МПФ объекта управления СМПИМ;  $\mathbf{K}(s)$  – робастный регулятор;  $\mathbf{P}(s)$  – МПФ обобщенного объекта с учетом весовых функций;  $\mathbf{W}_S(s)$ ,  $\mathbf{W}_R(s)$  и  $\mathbf{W}_T(s)$  – весовые функции.

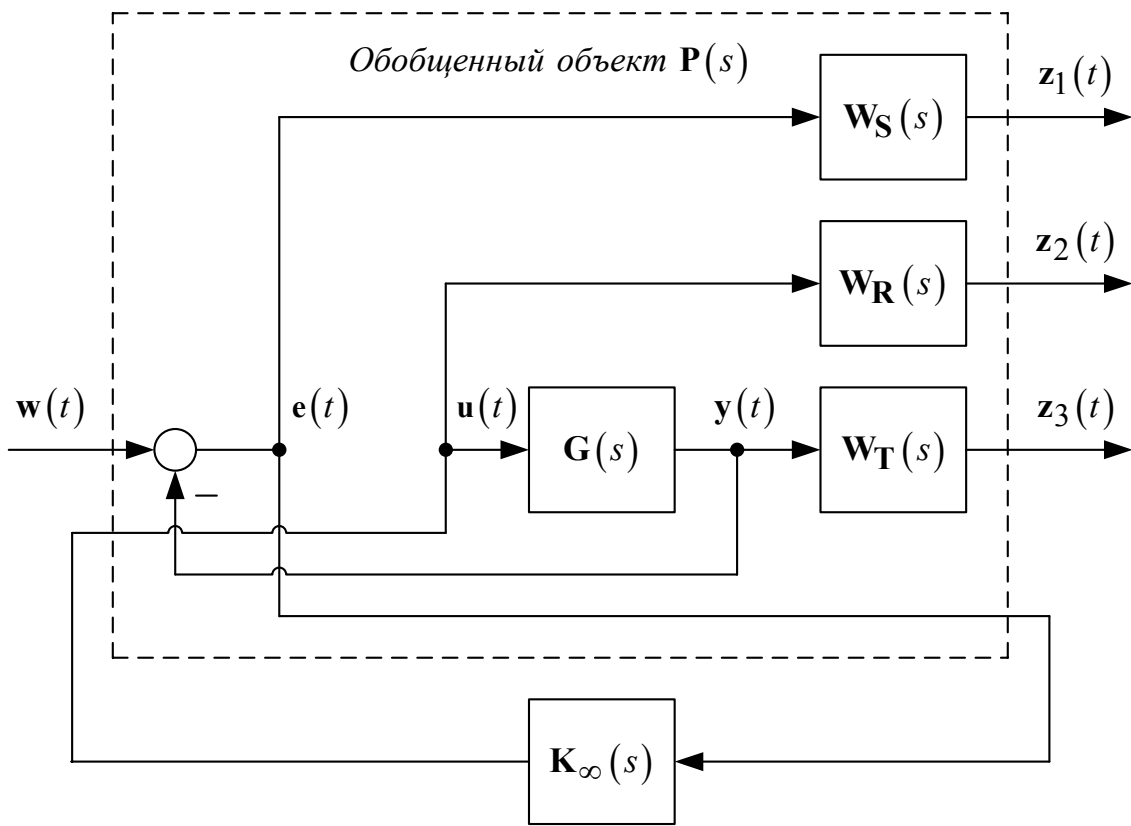


Рисунок 3 – Структурная схема обобщенного объекта  $\mathbf{P}(s)$

Обобщенный объект  $\mathbf{P}$  (см. рис. 2) имеет два входа ( $\mathbf{w}$  и  $\mathbf{u}$ ), два выхода ( $\mathbf{z}$  и  $\mathbf{y}$ ) и может быть разделен на четыре МПФ:

$$\mathbf{P} = \begin{bmatrix} \mathbf{P}_{11} & | & \mathbf{P}_{12} \\ \mathbf{P}_{21} & | & \mathbf{P}_{22} \end{bmatrix}, \quad (2)$$

где  $\mathbf{P}_{ji}$  отдельная МПФ от  $i$ -го входа до  $j$ -го выхода.

$F_L(\mathbf{P}, \mathbf{K})$  – это МПФ замкнутой системы от входа возмущения  $\mathbf{w}$  до выхода ошибки (контролируемая переменная)  $\mathbf{z}$ ,  $\mathbf{T}_{zw}$ , которая получена путем нижнего линейно-дробного преобразования (LLFT) [4]:

$$\mathbf{z} = \mathbf{T}_{zw} \mathbf{w} = F_L(\mathbf{P}, \mathbf{K}) \mathbf{w}, \quad (3)$$

$$\mathbf{T}_{zw} = F_L(\mathbf{P}, \mathbf{K}) = \mathbf{P}_{11} + \mathbf{P}_{12} \mathbf{K} (\mathbf{I} - \mathbf{P}_{22} \mathbf{K})^{-1} \mathbf{P}_{21}. \quad (4)$$

Запишем замкнутую МПФ  $\mathbf{T}_{zw} = F_L(\mathbf{P}, \mathbf{K})$  и обобщенный объект в следующем виде (см. рис. 3):

$$\begin{bmatrix} \mathbf{z}_1(s) \\ \mathbf{z}_2(s) \\ \mathbf{z}_3(s) \end{bmatrix} = \begin{bmatrix} \mathbf{W}_S(s) \mathbf{S}(s) \\ \mathbf{W}_R(s) \mathbf{R}(s) \\ \mathbf{W}_T(s) \mathbf{T}(s) \end{bmatrix} \mathbf{w}(s); \quad \mathbf{P}(s) = \left[ \begin{array}{c|c} \mathbf{W}_S & -\mathbf{W}_S \mathbf{G} \\ 0 & \mathbf{W}_R \\ 0 & \mathbf{W}_T \mathbf{G} \\ \hline \mathbf{I} & -\mathbf{G} \end{array} \right]. \quad (5)$$

Следовательно, задачей  $H_\infty$ -оптимизации является выбор такого регулятора  $\mathbf{K}_\infty$ , который бы минимизировал бесконечную норму  $\mathbf{T}_{zw}$  или  $\min \|\mathbf{T}_{zw}\|_\infty$ . Синтез робастного регулятора  $\mathbf{K}_\infty$  сводится к определению такого динамического звена с постоянными коэффициентами входом которого является измеряемый вектор исходной системы  $\mathbf{y}(t)$ , а выходом – вектор управления  $\mathbf{u}(t)$  исходной системы.

Регулятор описывается выражением:

$$\mathbf{K}_\infty(s) \stackrel{s}{=} \left[ \begin{array}{c|c} \bar{\mathbf{A}}_\infty & -\mathbf{Z}_\infty \mathbf{L}_\infty \\ \hline \mathbf{F}_\infty & 0 \end{array} \right], \quad (6)$$

где  $\bar{\mathbf{A}}_\infty = \mathbf{A} + \gamma^{-2} \mathbf{B}_1 \mathbf{B}_1^T \mathbf{X}_\infty + \mathbf{B}_2 \mathbf{F}_\infty + \mathbf{Z}_\infty \mathbf{L}_\infty \mathbf{C}_2$

$\mathbf{F}_\infty = -\mathbf{B}_2^T \mathbf{X}_\infty$ ,  $\mathbf{F}_\infty = -\mathbf{B}_2^T \mathbf{X}_\infty$ ,  $\mathbf{Z}_\infty = (\mathbf{I} - \gamma^{-2} \mathbf{Y}_\infty \mathbf{X}_\infty)^{-1}$ .

Модель  $H_\infty$ -субоптимального регулятора задается уравнениями:

$$\begin{cases} \dot{\bar{\mathbf{x}}} = (\mathbf{A} + \gamma^{-2} \mathbf{B}_1 \mathbf{B}_1^T \mathbf{X}_\infty + \mathbf{B}_2 \mathbf{F}_\infty + \mathbf{Z}_\infty \mathbf{L}_\infty \mathbf{C}_2) \bar{\mathbf{x}} - \mathbf{Z}_\infty \mathbf{L}_\infty \mathbf{y}, \\ \mathbf{u} = \mathbf{F}_\infty \bar{\mathbf{x}}. \end{cases} \quad (7)$$

Здесь первое уравнение – модель наблюдателя, а второе – модель регулятора,  $\bar{\mathbf{x}}$  - оценка вектора состояния и измерений. В частотной области регулятор задается МПФ (преобразование по Лапласу)

$$\mathbf{K}_\infty = \mathbf{F}_\infty \left( s\mathbf{I} - \mathbf{A} - \gamma^{-2} \mathbf{B}_1 \mathbf{B}_1^T \mathbf{X}_\infty - \mathbf{B}_2 \mathbf{F}_\infty - \mathbf{Z}_\infty \mathbf{L}_\infty \mathbf{C}_2 \right)^{-1} (-\mathbf{Z}_\infty \mathbf{L}_\infty) \mathbf{Y}_\infty. \quad (8)$$

$\mathbf{X}_\infty$  и  $\mathbf{Y}_\infty$  являются решением обобщенных алгебраических уравнений Риккати по управлению и фильтрации

$$\mathbf{A}^T \mathbf{X}_\infty + \mathbf{X}_\infty \mathbf{A} - \mathbf{X}_\infty \left( \mathbf{B}_2 \mathbf{B}_2^T - \gamma^{-2} \mathbf{B}_1 \mathbf{B}_1^T \right) \mathbf{X}_\infty + \mathbf{C}_1^T \mathbf{C}_1 = 0; \quad (9)$$

$$\mathbf{A} \mathbf{Y}_\infty + \mathbf{Y}_\infty \mathbf{A}^T - \mathbf{Y}_\infty \left( \mathbf{C}_2^T \mathbf{C}_2 - \gamma^{-2} \mathbf{C}_1^T \mathbf{C}_1 \right) \mathbf{Y}_\infty + \mathbf{B}_1 \mathbf{B}_1^T = 0. \quad (10)$$

$H_\infty$ -норма передаточной функции  $\mathbf{G}(s)$ ,  $\|\mathbf{G}\|_\infty$  в скалярном выражении конечна и равна максимальному значению амплитудно-частотной характеристики  $\mathbf{G}(j\omega)$ .  $H_\infty$ -норма передаточной функции представляет собой верхнюю грань коэффициента усиления между  $H_2$ -нормой входного сигнала и  $H_2$ -нормой выходного сигнала. Следовательно,  $H_\infty$ -норма равна квадратному корню из энергии выхода при входном возмущении с единичной энергией. Поэтому минимум  $H_\infty$ -нормы – приводит к минимизации максимального по всему частотному диапазону энергии выходного сигнала для наихудшего случая приложения входного воздействия. Для получения необходимых показателей качества синтезируемой системы в вектор контролируемых переменных  $\mathbf{z}(t)$  необходимо включать ошибку системы, переменные состояния системы, которые нужно ограничивать, а также компоненты вектора управления  $\mathbf{u}(t)$ . Причем, роль весовых матриц (функций) в критерии качества выполняют матрицы  $\mathbf{C}_1$ ,  $\mathbf{D}_{11}$  и  $\mathbf{D}_{12}$ , с помощью которых формируется вектор контролируемых переменных  $\mathbf{z}(t)$ . Выбор весовых матриц (функций) является неоднозначной задачей, требующей для своего решения достаточного опыта разработчика, а также применения метода проб и ошибок, который заключается в подборе таких значений этих матриц (функций), при которых в системе обеспечивается выполнение заданных требований по качеству регулирования. А синтез такой системы сводится к минимизации  $H_\infty$ -нормы взвешенной энергии ошибок каналов, переменных состояния, которые необходимо ограничивать,

и управления. Общие рекомендации для выбора весовых функций и формирования контура управления (loopshaping) изложены в [6].

Замкнутая МПФ при решении задачи смешанной чувствительности (mixed sensitivity):

$$\mathbf{T}_{zw} = \begin{bmatrix} \mathbf{W}_S(s)\mathbf{S}(s) \\ \mathbf{W}_R(s)\mathbf{R}(s) \\ \mathbf{W}_T(s)\mathbf{T}(s) \end{bmatrix} = \begin{bmatrix} \mathbf{W}_S(s)\mathbf{S}(s) \\ (\mathbf{W}_R(s)/\mathbf{G}(s))\mathbf{T}(s) \\ \mathbf{W}_T(s)\mathbf{T}(s) \end{bmatrix}, \quad (11)$$

где  $\mathbf{S}(s) = (\mathbf{I} + \mathbf{G}(s)\mathbf{K}(s))^{-1}$  – функция чувствительности;

$\mathbf{T}(s) = \mathbf{G}(s)\mathbf{K}(s)(\mathbf{I} + \mathbf{G}(s)\mathbf{K}(s))^{-1}$  – дополнительная функция чувствительности;  $\mathbf{R}(s) = \mathbf{K}(s)(\mathbf{I} + \mathbf{G}(s)\mathbf{K}(s))^{-1}$ .

Весовые функции принимаем в виде следующих ПФ:

$$\mathbf{W}_S = \frac{s/M + \omega_0}{s + \omega_0 A}; \quad \mathbf{W}_R = const; \quad \mathbf{W}_T = \frac{s + \omega_0/M}{As + \omega_0}, \quad (12)$$

где  $A = 0,001$  – желаемая максимально допустимая установившаяся ошибка в установившемся режиме;

$\omega_0 = 200$  – полоса пропускания;  $M = 3$  – пик чувствительности.

Отметим, что при целенаправленной вариации параметров весовых функций  $A$ ,  $\omega_0$  и  $M$  можно достичь требуемых характеристик качества системы управления, что показано в [6-7].

При проектировании робастной САР использовались средства пакета Robust Control Toolbox системы Matlab, позволяющие вычислить центральный  $H_\infty$ -субоптимальный регулятор по представленным алгоритмам. Полученный робастный регулятор положения является регулятором 5-го порядка.

Достигнутая  $H_\infty$ -норма замкнутой системы, полученная в ходе итерационного процесса, составила 0,804.

На рис. 4 представлены результаты работы электропривода с синтезированным  $H_\infty$ -субоптимальным регулятором положения, а также для сравнения с релейный регулятором положения при расчётных (номинальных) параметрах ОУ; при одновременном увеличении и уменьшении момента инерции  $J_\Sigma$  и эквивалентного сопротивления  $R_\Sigma$  в 4 раза.

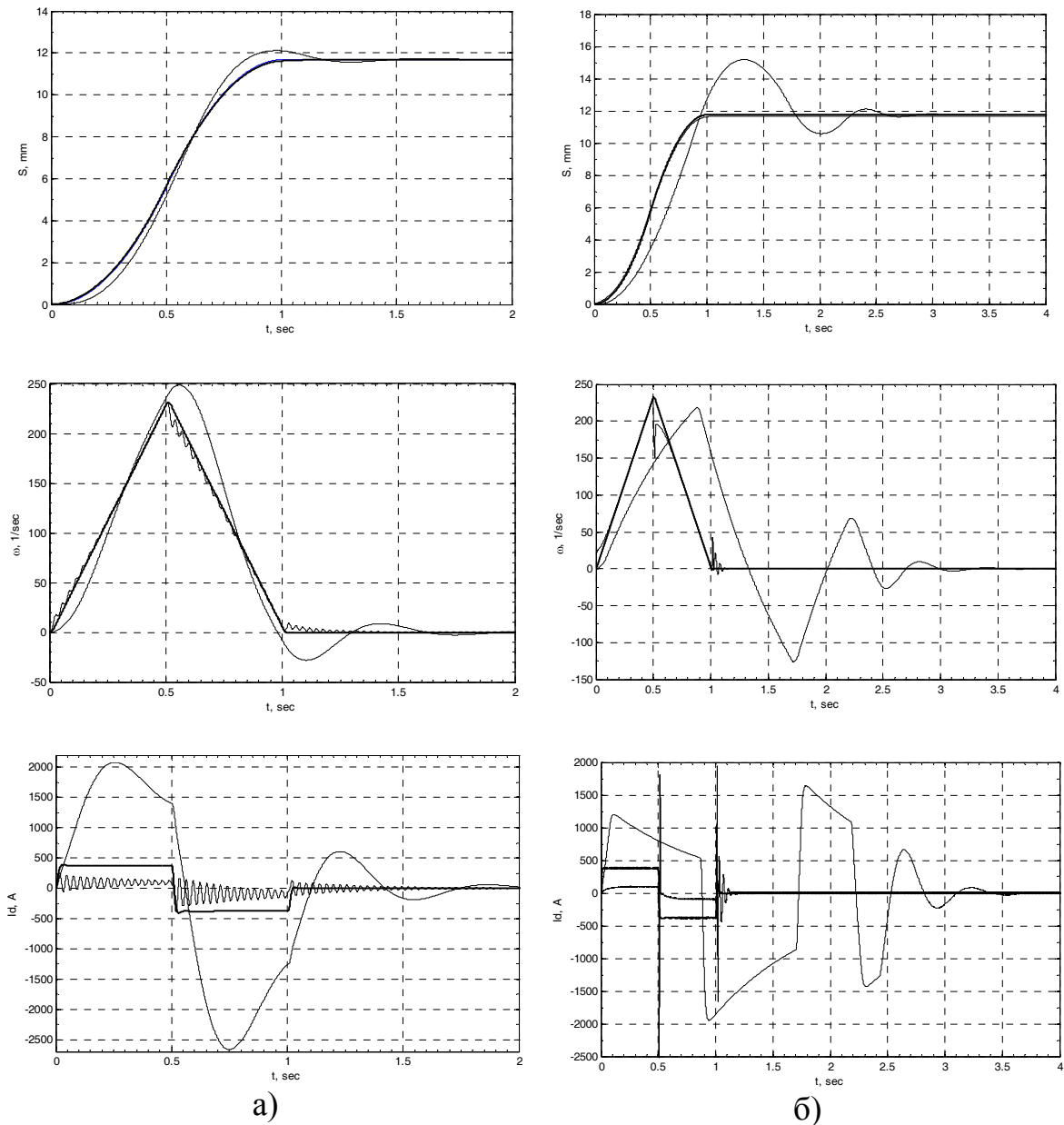


Рисунок 4 – Графики переходных процессов позиционного ЭП при номинальных параметрах и при одновременном изменении момента инерции  $J_{\Sigma}$  и эквивалентного сопротивления  $R_{\Sigma}$  в 4 раза

- а) в робастной системе управления
- б) в релейной системе управления

**Выводы.** Синтезирован робастный  $H_{\infty}$ -субоптимальный регулятор положения в условиях неполной информации о объекте и с учетом его неопределенностей. Полученный регулятор обеспечивает системе управления робастные характеристики качества и заданную точность позиционирования. Разработаны программные коды (m-файлы) в сис-



теме MATLAB, позволяющие алгоритмизировать процедуру синтеза робастных САР для электромеханических объектов  $n$ -го порядка.

### **Библиографический список**

1. Zames G. *Feedback and optimal sensitivity: Model reference transformations, multiplicative seminorms, and approximate inverses* // *IEEE Trans. Automat. Control.* – 1981. – Vol.26. - No.2. – P.301-320.

2. Glover K. *All optimal Hankel-norm approximations of linear multivariable systems and their  $L_\infty$  error bounds.* // *Int. J. Control.* – 1984. – Vol.39.

3. Doyle J.C. *State-space solutions to standard  $H_2$  and  $H_\infty$  control problems* / J.C. Doyle, K. Glover, P.P. Khargonekar, B.A. Francis // *IEEE Trans. Automat. Control.* – 1989. – Vol.34. - No8. – P.831-847.

4. Полилов Е.В. Синтез робастного  $H_\infty$ -субоптимального регулятора положения позиционного электропривода / Е.В. Полилов, А.Б. Зеленев, Е.С. Руднев // *Вісник Кременчуцького державного технічного університету ім. Михайла Остроградського.* – Кременчук: КДПУ, 2008. – Вип. 3/2008 (50), частина 1. – С.64-71.

5. Полилов Е.В. Синтез робастной системы управления явнополюсной синхронной машины / Е.В. Полилов, А.Б. Зеленев, Е.С. Руднев // *Вісник Національного технічного університету «Харківський політехнічний інститут».* – Харків: НТУ «ХПИ», 2008, № 30. – С.136-140.

6. Полилов Е.В. Практический подход к выбору весовых функций для  $H_\infty$ -теории робастного управления / Е.В. Полилов, А.Б. Зеленев, Е.С. Руднев // *Вісник Кременчуцького державного технічного університету ім. Михайла Остроградського.* – Кременчук: КДПУ, 2008. – Вип. 3/2009 (56), частина 2. – С.17-24.

7. Полилов Е.В. Синтез алгоритмов робастного управления синхронной машиной с постоянными магнитами методами  $H_\infty$ -теории / Полилов Е.В., Руднев Е.С., Скорик С.П. // *Сборник научных трудов Донбасского государственного технического университета.* - Вып.31. – Алчевськ: ДонГТУ, 2010. – С.197-212.

**Рекомендована к печати д.т.н., проф. Луциком В.Д.**